

СЖАТИЕ УПРУГОГО ШАРА ОПОЯСЫВАЮЩЕЙ НАГРУЗКОЙ

Калинин А.А., Федосеев Г.Н.

Интегральные уравнения краевой задачи теории упругости для тела вращения с осесимметричными силовыми граничными условиями, построенные на эластопотенциалах простого слоя, имеют вид [1]

$$2\pi G\eta\mu_i(x) + \int_L \mu_k(y)D_{ij}^k(x,y)\alpha_j dL = p_i(x) \quad (1)$$

(i, j, k = r, t, z),

где $\mu_i(x)$ и $\mu_k(y)$ - компоненты вектора плотности эластопотенциала в фиксированной и переменной при интегрировании точках x и y границы L меридионального сечения тела вращения;

α_j - направляющие косинусы нормали к контуру L (в фиксированной точке x);

$p_i(x)$ - поверхностные усилия;

η - коэффициент, принимающий значения 1 (для внутренней задачи), -1 (для внешней задачи);

G - модуль сдвига материала тела;

r, t, z - координатные направления (радиальное, окружное и параллельное оси симметрии) в точке x .

Ядра $D_{ij}^k(x, y)$ в уравнениях (1) получаются путем интегрирования ядер уравнений трехмерной задачи [2] (по окружной координате)

$$d_{ij}^k(x, y) = T_{ir} \left(\frac{\partial}{\partial x}, x_i \right) \Gamma_{rk} \left(\frac{\partial}{\partial x} \right) \frac{|r|}{2}$$

где $T_{ir} \left(\frac{\partial}{\partial x}, x_i \right)$, - оператор напряжения;

$\Gamma_{rk} \left(\frac{\partial}{\partial x} \right)$ - оператор Галеркина,

Γ - вектор, имеющий начало в точке x , а конец в точке y .

Приближенное решение задачи получается заменой уравнений (1) алгебраическим аналогом, найденные значения плотности μ используются для определения напряжений в точках z тела вращения

$$\sigma_{ij}(z) = \int_L \mu_k(y)D_{ij}^k(z,y)dL, (i, j, k = r, t, z)$$

Рассмотрим сжатие упругого шара нагрузкой, опоясывающей его по экватору (рис.1),

$$p_\rho = \begin{cases} -A \left(1 + \cos \frac{\pi\gamma}{2\alpha} \right) & \text{при } -\alpha \leq \gamma \leq \alpha \\ 0 & \text{при } \alpha < \gamma \leq \pi/2, \dots, -\alpha < \gamma \leq -\pi/2; \end{cases}$$

$p_z = 0$

и, положив $|p_\rho|_{\max} = 100$ (при этом коэффициент $A = 50$), оценим влияние размеров области распределения нагрузки ($\alpha = 4^\circ, 8^\circ, 12^\circ$) на напряжен-

ное состояние в точках экваториального сечения шара. На рис. 2 показано, что по мере удаления от поверхности шара значения напряжений σ_{pp} (отнесенные к интенсивности нагрузки $p = R \int_{-\alpha}^{\alpha} |p_p| d\gamma$), соответствующие различным значениям

угла γ , сближаются (при $\rho = 0,6$ расхождение этих значений не превышает 2,6%). Аналогичным образом ведут себя и напряжения σ_{tt} (рис. 3). Что касается точек, близких к поверхности шара, при сужении области распределения нагрузки напряжения σ_{pp} приближаются к напряжениям σ_x в задаче Фламана [3] (график последних показан на рис. 2 штрихами).

На рис. 4 изображены графики напряжений σ_{zz} . Растягивающие напряжения σ_{zz} распределены в растянутой зоне почти равномерно. По мере сужения области распределения нагрузки размеры растянутой зоны растут; точка, где действует наибольшее растягивающее напряжение, смещается к поверхности шара.

Наконец, на рис. 5 показаны графики эквивалентного напряжения, найденного по известному критерию Треска-Сен-Венана. Наиболее опасные точки находятся не на поверхности шара, а на некотором удалении от нее. По мере сужения области распределения нагрузки (при ее стремлении к распределенной по экватору) опасные точки асимптотически приближаются к поверхности шара.

Литература:

1. Капейкин Ю.Д., Калинин А.А. Прямое решение восесимметричной другой краевой задачи теории упругости металам бігарманічних патенціалау//Изв.АН БССР.1972.№ 3. Сер.физ.-матем.Наук.
2. Купрадзе В.Д., Гегелиа Т.Г., Вашелешвили М.О., Бурчуладзе Т.В. Трёхмерные задачи математической теории упругости. Тбилиси: Тбилисский университет, 1968.
3. Лурье А.И. Теория упругости. М.:Наука, 1970.

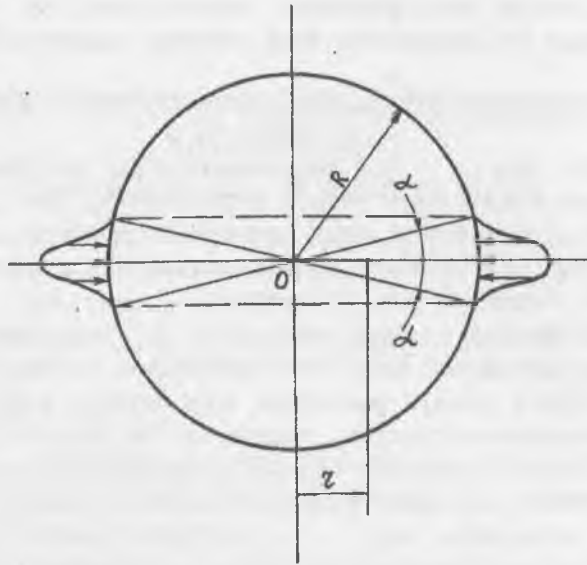


Рис. 1. Опясывающая нагрузка.

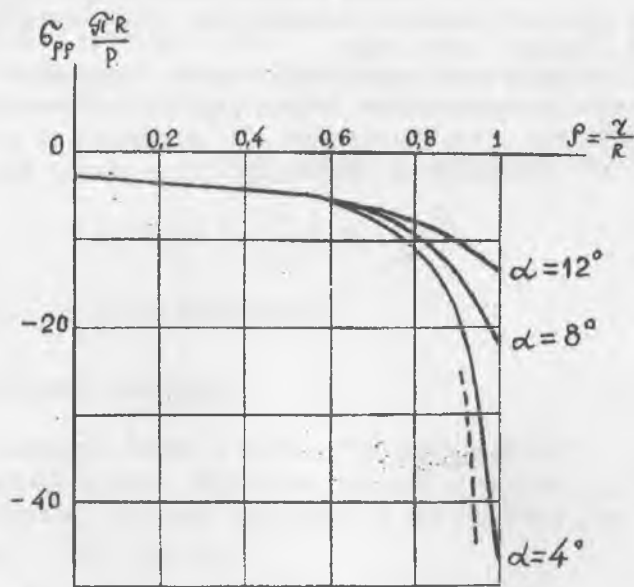


Рис. 2. Напряжения σ_{pp} в экваторальной плоскости.

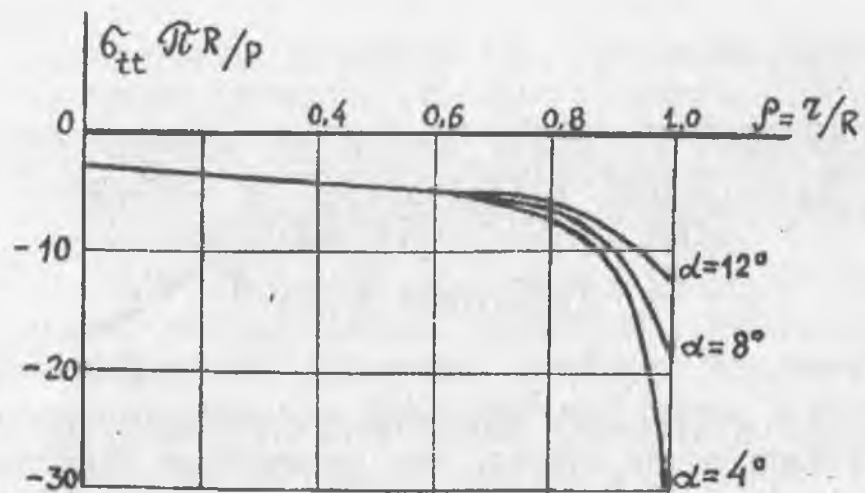


Рис. 3. Напряжения σ_{tt} в экваториальной плоскости.

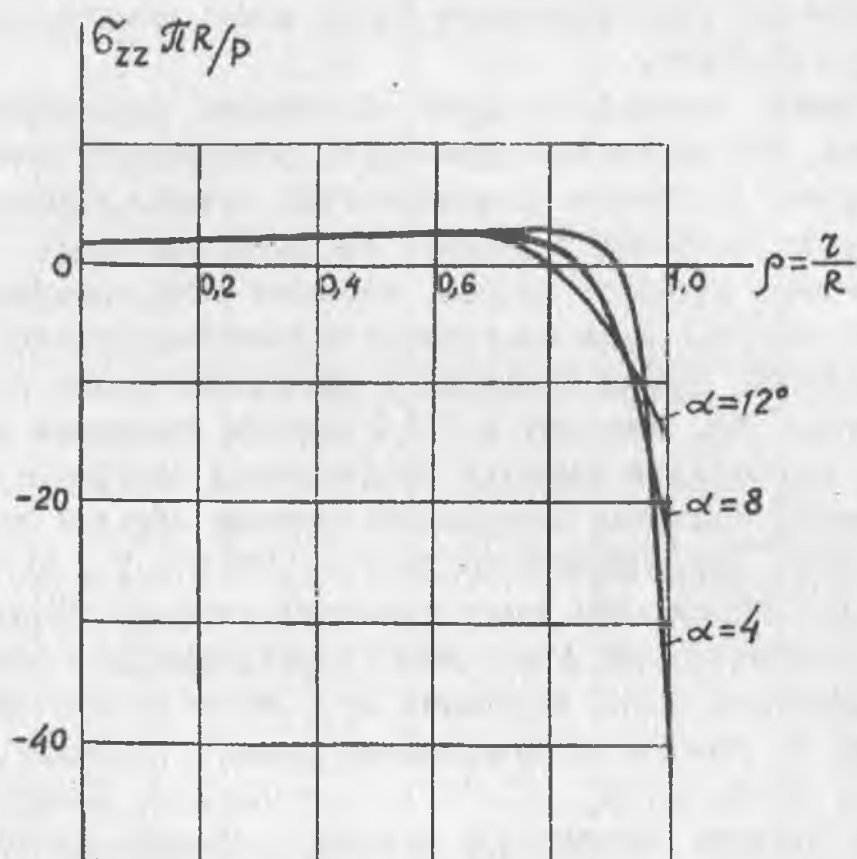


Рис. 4. Напряжения σ_{zz} в экваториальной плоскости.

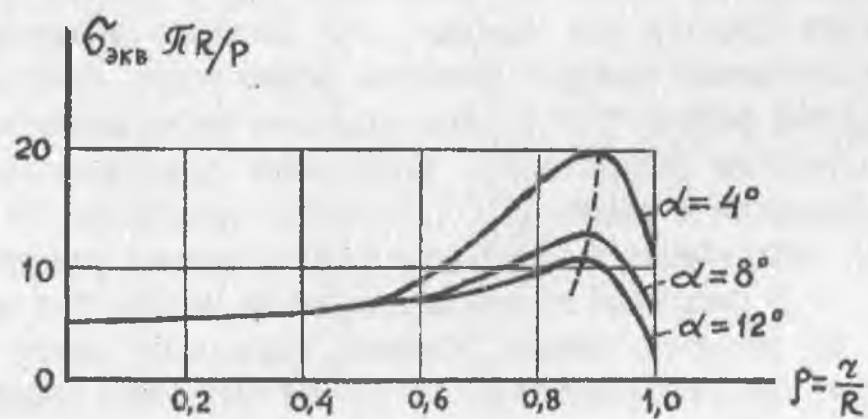


Рис. 5. Эквивалентные напряжения в экваториальной плоскости.